

名古屋大学	学生員	田政薦
3	3	片山健一
3	3	○市川治穂

1. まえがき

コンクリート材料をその構造からみると、孔、空ゲキを有することは、大きな特徴であり、この空ゲキがコンクリートの力学的挙動に重要な影響をおよぼすと考えられる。また、この空ゲキを水で満たした場合、コンクリートの強度と破壊性状がどのように変わるかについて興味がもたらされる。

実際に、橋脚、護岸等のコンクリートの水中構造物を考えた場合、水によって飽和された状態で荷重の作用を受けることがうけられる。

本文では、普通に養生したコンクリート供試体100本余りを、空中、あるいは水中において、荷重速度を一気に制御し、定荷重速度圧縮試験、定振幅定荷重速度繰返し圧縮試験を行なった実験結果を基にして、水で飽和されたコンクリートの強度と破壊に関する基礎的研究を行なったものである。

2. 実験概要

実験に使用した供試体は $\phi 10 \times 20\text{cm}$ の円柱形、セメントは普通ポルトランドセメント、骨材は粒径5mm以下をふくむ分けて使用した。試験時材令は100日を経過させた。供試体は打込み後、24時間恒温恒湿室($20 \pm 3^\circ\text{C}, RH = 90\%$)内に放置した後、材令28日まで水中($20 \pm 3^\circ\text{C}$)で養生した。その後は恒温恒湿室で養生を続け、試験を行なう前に、試験条件に合わせ、それを恒温恒湿室($20 \pm 3^\circ\text{C}, RH = 0\%$)、水中($20 \pm 3^\circ\text{C}$)に移した。

コンクリートの継続横ひずみの測定は、ASTMに従って供試体の側面の相対する中央二箇所に、電気抵抗ひずみゲージを接着剤で貼った。水中で行なう試験の供試体は、防水性、絶縁性を考慮してドライヤーで表面を十分乾燥させた後、ビニールコーティングを行ない、その後丁目性接着剤を塗布した。供試体を水中で浸した状態で圧縮試験を行なうために、アクリル密

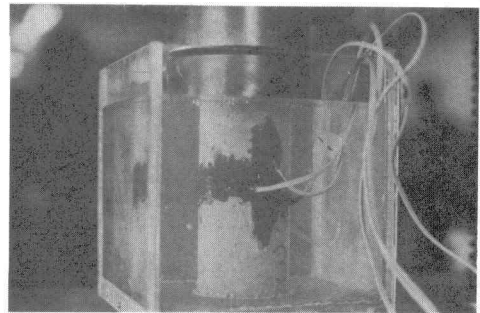


Photo-1 水中の圧縮試験

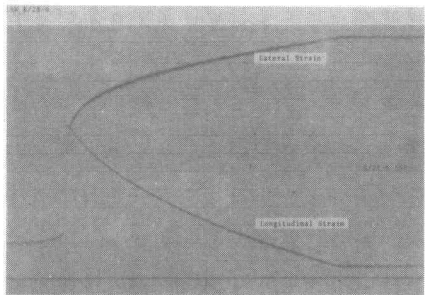


Photo-2 オシログラフへの出力(静的)

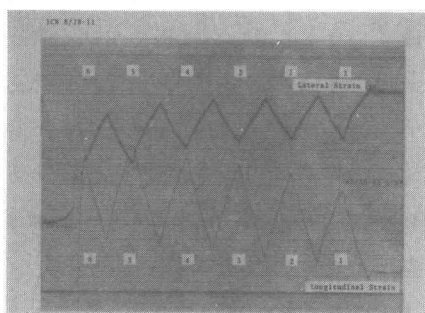


Photo-3 オシログラフへの出力(繰返し)

器を製作した。こ水ら水中での圧縮試験の状況を Photo-1 に示す。

圧縮試験はすべて 100 タン能試験機、自動負荷制御装置で行なった。定荷重速度圧縮試験での荷重速度は 5 種類(毎秒 0.166, 2.49, 4.97, 9.94, 19.88 kg/cm²)とした。定振幅定荷重速度繰返し圧縮試験では荷重振幅を下限 33 kg/cm², 上限 331 kg/cm² とし、周期は 0.5, 1.0, 2.0, 4.0 min とした。繰返し回数は 100 回程度まで行なった。なお上限荷重の決定に際しては、別に、水中、空中で圧縮試験を行ない、その圧縮強度を基にした。331 kg/cm² は、空中圧縮強度の 80%, 水中圧縮強度の 90% である。また、水中圧縮強度の 90% を上限とした繰返し圧縮試験を行ない、破壊過程を超音波伝播速度を測定することによって着目した。ひずみの測定および記録はストレインアンプ、データレコーダーを使用して記録し、オシログラフに出力させた。Photo-2 に定荷重速度圧縮試験、Photo-3 に定振幅定荷重速度圧縮試験のオシログラフへの出力を示す。

3. 結果および考察

本実験から、空ゲキを水で飽和としたコンクリートとは、空ゲキに水をほとんど含まないコンクリートに比較して非常に異なり、力学的挙動を示すことがわかったが、主な結果は次のとおりである。

- 1) 水中のコンクリート圧縮強度は水中のコンクリートより小さく 85% であった。
- 2) σ_u と破壊時間 $t_{u, \text{min}}$ の間に Fig-1 の関係がある。つまり圧縮強度は荷重速度の増大に伴なって大きくなる。破壊時間に対する勾配は水中の方が空中のより急である。
- 3) 水中のコンクリート最大繰りひずみは水中に比較して小さく、その割合は 76% であった。 σ_u との関係 (Fig-2) をみると、ひずみは σ_u のばらつきに比較して、かなり大きいといえる。
- 4) 空中のコンクリート静的弾性係数 E_s は、水中よりも大きいか、ほとんど差はないようである。また破壊時による著しい相違はあまりみられなかった。
- 5) 繰返し荷重を受けた場合、空中で 100 回程度の繰返しでは、破壊に至らず、動的弾性係数 E_d の低下もそんなに著められなかつたが、水中の場合、30 回の繰返し回数以内で破壊を生じた。また E_d の低下も顕著に認められた。破壊の形状にも両者の差が認められた。

4. あとがき

結果および考察について詳細には述べられなかつたので、発表時に述べさせていただくことにする。

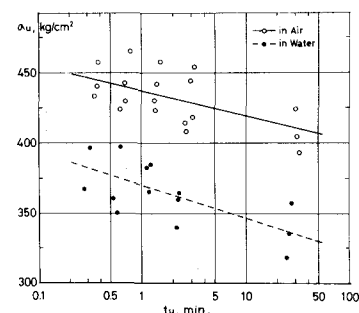


Fig-1 Relationship between σ_u and t_u

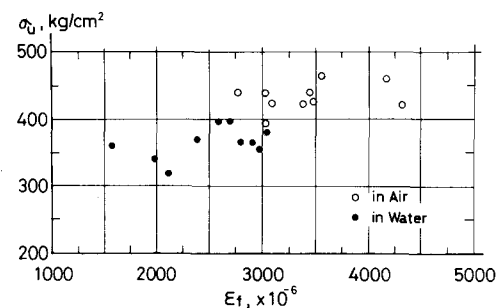


Fig-2 Relationship between σ_u and E_s

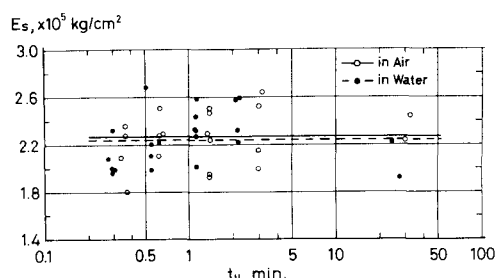


Fig-3 Relationship between E_d and t_u